

بِسْمِ اللّٰهِ الرَّحْمٰنِ الرَّحِيْمِ



دانشگاه پیام نور

مرکز ابهر

پایان نامه

برای دریافت درجه کارشناسی ارشد

در رشته شیمی (معدنی)

دانشکده علوم

گروه شیمی

عنوان پایان نامه:

تهیه و شناسایی چارچوبهای فلز - آلی کبالت و کاربرد آنها جهت تهیه نانو

ساختارهای کبالت اکسید

استاد راهنما :

دکتر علی مرسلی

استاد مشاور:

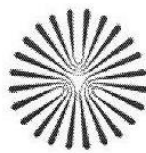
دکتر فرزین مرندی

نگارش:

سهیلا ابوذری

۹۰ بهمن

ب



دانشگاه پیام نور

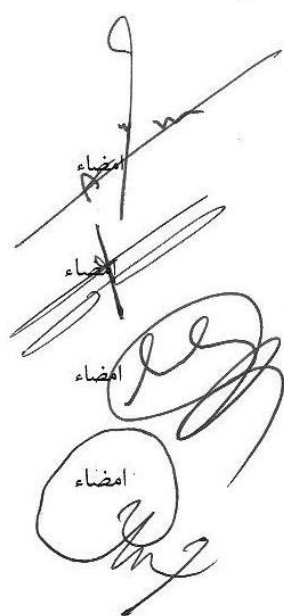
دانشکده علوم

گروه شیمی

پایان نامه کارشناسی ارشد رشته شیمی گرایش شیمی معدنی سهیلا ابوذری تحت عنوان

تهیه و شناسایی چارچوبهای فلز - آلی کبالت و کاربرد آنها جهت تهیه نانو ساختارهای کبالت اکسید

در تاریخ ۹۰/۱۱/۶ توسط هیأت داوران زیر بررسی و با نمره ۱۷/۲ با درجه به تصویب
نهایی رسید.



با مرتبه‌ی علمی دانشیار

۱- استاد راهنما دکتر علی مرسلی

با مرتبه‌ی علمی دانشیار

۲- استاد مشاور دکتر فرزین مرندی

با مرتبه‌ی علمی استاد

۳- استاد داور دکتر علی رمضانی

با مرتبه‌ی علمی مربی

۴- نماینده تحصیلات تکمیلی مهندس عابدینی

تقدیم به:

پدر بزرگوارم، تکلیف گاه زندگی ام

و

مادر هم برانم، پشتیبان صمیمی زندگی ام

تقدیر و تشکر:

برخود لازم می دانم تشکر کنم از :

استاد بزرگوارم جناب آقای دکتر علی مرسلی که زحمات شایان تقدیری را برای من
متقبل شدند واز خداوند برای ایشان سلامتی، بهروزی و موفقیت روزافزون رامسئلت دارم.

جناب آقای دکتر فرزین مرندی که از راهنمایی های ایشان بهره بردم .

استاد گرانقدر جناب آقای دکتر علی رمضانی که داوری این پایان نامه را بر عهده
داشتند .

و همچنین

خانواده عزیز و مهربانم .

چکیده

چهار پلیمر کوئور دینانسی

- (۱) $[\text{Co}_3(\text{H}_2\text{O})_4(\text{OH})_2(\text{C}_4\text{H}_2\text{O}_4)_2].2\text{H}_2\text{O}$
- (۲) $[\text{Co}_2(\text{bta})(\text{H}_2\text{O})_8]_n.4n\text{H}_2\text{O}$
- (۳) $[(\text{CH}_3)_2\text{NH}_2][\text{Co}_3(\text{btc})(\text{HCOO})_4(\text{H}_2\text{O})].\text{H}_2\text{O}$ و
- (۴) MOF-CJ4 = $[\text{Co}_6(\text{BTC})_2(\text{HCOO})_6(\text{DMF})_6]$

از واکنش کبالت(II) کلرید و کبالت(II) نیترات با ۱، ۲، ۴، ۵-بنزن تراکربوکسیلات (bta) و ۳، ۵-بنزن تری کربوکسیلات (btc) و لیگاند فوماریک اسید در دمای اتاق، هیدروترمال و رفلaks سنتز شدند. مطالعات ساختاری روی این ترکیبات از طریق XRD و IR انجام شد. نانو ذرات Co_3O_4 از طریق کلسیناسیون حاصل شدند. نانو اسپینل Co_3O_4 به وسیله آنالیزهای پراش پرتو X (XRD) و میکروسکوپ الکترونی روبشی (SEM) مورد بررسی قرار گرفتند.

کلمات کلیدی: نانو اسپینل Co_3O_4 , هیدروترمال, نانو ذرات.

فهرست مطالب

صفحه	عنوان
۱	چکیده
۱	فصل اول: مقدمه
۲	۱-۱- کبالت
۳	۱-۱-۲- اثر کبالت بر روی سلامتی
۴	۱-۱-۳- تأثیرات زیست محیطی کبالت
۵	۱-۱-۴- ایزوتوب های کبالت
۶	۱-۱-۵- خواص فیزیکی شیمیایی کبالت
۷	۱-۱-۶- منابع
۸	۱-۲-۱- سیستم های فلز-آلی
۹	۱-۲-۲-۱- فاکتورهای کنترل کننده در MOFs
۱۰	۱-۲-۳-۱- ماکرو مولکول های فلز - آلی (MOMs)
۱۱	۱-۲-۴-۱- کاربردهای مختلف MOMs
۱۲	۱-۳-۱- MOFs-۵-۲-۱
۱۳	۱-۳-۲-۱- اصول ستز MOFs
۱۴	۱-۳-۲-۲-۱- خاصیت تخلخل MOF ها
۱۵	۱-۳-۲-۳-۱- تأثیر دما و زمان در ستز MOF ها
۱۶	۱-۳-۲-۴-۱- کاربردهای مختلف MOF ها
۱۷	۱-۳-۲-۵-۱- ذخیره سازی گازها در MOF ها
۱۸	۱-۳-۲-۶-۱- ذخیره سازی هیدروژن در MOF ها
۱۹	۱-۳-۲-۷-۱- ذخیره سازی متان در MOFs
۲۰	۱-۳-۲-۸-۱- ذخیره و جداسازی گاز استلن در MOF ها
۲۱	۱-۳-۲-۹-۱- جذب و جداسازی کربن دی اکسید در MOF ها
۲۲	۱-۳-۲-۹-۲-۱- جذب انتخابی گازها در MOFs
۲۳	۱-۳-۲-۹-۳-۱- جذب انتخابی گازها در MOF ها
۲۴	۱-۳-۲-۹-۴-۱- ذخیره و جداسازی گاز استلن در MOF ها
۲۵	۱-۳-۲-۹-۵-۱- جذب و جداسازی گازها در MOF ها
۲۶	۱-۳-۲-۹-۶-۱- جذب انتخابی گازها در MOFs
۲۷	۱-۳-۲-۹-۷-۱- جذب انتخابی گازها در MOF دینامیک
۲۸	۱-۳-۲-۹-۸-۱- جذب انتخابی گازها در MOF های صلب

۲۹	۱-۹-۹-۲-۱- استفاده از MAMS برای جذب انتخابی گازها
۳۰	۱-۳-۱- نانو مواد، خواص و روش های سنتز آن
۳۰	۱-۳-۱- مواد و ذرات نانو
۳۱	۱-۲-۳-۱- روش های ساخت نانو مواد
۳۳	۱-۳-۳-۱- کاربردهای نانو اکسید کبالت
۳۳	۱-۴-۱- استفاده از روش کلسینه در تهیهٔ نانو مواد
۳۴	۱-۲-۴-۱- مشخصهٔ یابی به وسیلهٔ پراش پرتو X
۳۴	۱-۴-۲-۳- میکروسکوپ الکترونی روبشی
۳۵	۱-۵-۱- اهداف تحقیق
۳۶	فصل ۲: بخش تجربی
۳۷	۲-۱- مواد و دستگاه‌های مورد استفاده
۳۷	۲-۲- لیست مواد مورد استفاده در آزمایشگاه
۳۷	۲-۳-۲- ترکیبات تهیه شده در این پژوهش
۳۷	۱-۳-۲-۱- تهیهٔ کمپلکس (۱) $[Co_3(H_2O)_4(OH)_2(C_4H_2O_4)_2].2H_2O$
۳۸	۲-۳-۲-۲- سنتز (۲) $[Co_2(bta)(H_2O)]_n.2nH_2O$
۳۸	۲-۳-۳-۲- تهیهٔ کمپلکس (۳) $[(CH_3)_2NH_2][Co_3(btc)(HCOO)_4(H_2O)].H_2O$
۳۹	۲-۴-۳-۲-۲- تهیهٔ (۴) MOF-CJ4 = $[Co_6(BTC)_2(HCOO)_6(DMF)_6]$
۳۹	۲-۴- سنتز نانوذرات کبالت اکسید از پیش ماده‌های سنتز شده
۴۱	فصل ۳: بحث و نتایج
۴۲	۳-۱-۱- توصیف ساختاری (۱) $[Co_3(H_2O)_4(OH)_2(C_4H_2O_4)_2].2H_2O$
۴۳	۳-۲-۱- بررسی طیف IR ترکیب $[Co_3(H_2O)_4(OH)_2(C_4H_2O_4)_2].2H_2O$
۴۴	۳-۱-۳- بررسی الگوی XRD ترکیب $[Co_3(H_2O)_4(OH)_2(C_4H_2O_4)_2].2H_2O$
۴۴	۳-۱-۴- تهیهٔ نانو ذرات Co_3O_4 از پیش ماده Co_3O_4
۵۰	۳-۱-۲- توصیف ساختاری (۲) $[Co_2(bta)(H_2O)]_n.2nH_2O$
۵۱	۳-۲-۲- بررسی طیف IR ترکیب $[Co_2(bta)(H_2O)]_n.2nH_2O$
۵۲	۳-۲-۳- بررسی الگوی XRD ترکیب $[Co_2(bta)(H_2O)]_n.2nH_2O$

۵۲	۴-۲-۳ تهیه نانو ذرات Co_3O_4 از پیش ماده $[\text{Co}_2(\text{bta})(\text{H}_2\text{O})]_n \cdot 2\text{nH}_2\text{O}$
۵۸	۱-۳-۳ - توصیف ساختاری $[(\text{CH}_3)_2\text{NH}_2][\text{Co}_3(\text{btc})(\text{HCOO})_4(\text{H}_2\text{O})].\text{H}_2\text{O}$ ^(۳)
۶۰	۳ - ۲-۳ - بررسی طیف IR ترکیب $[(\text{CH}_3)_2\text{NH}_2][\text{Co}_3(\text{btc})(\text{HCOO})_4(\text{H}_2\text{O})].\text{H}_2\text{O}$
۶۱	۳-۳-۳ - بررسی الگوی XRD ترکیب $[(\text{CH}_3)_2\text{NH}_2][\text{Co}_3(\text{btc})(\text{HCOO})_4(\text{H}_2\text{O})].\text{H}_2\text{O}$
۶۱	۴-۳-۳ - تهیه نانو ذرات Co_3O_4 از پیش ماده $[(\text{CH}_3)_2\text{NH}_2][\text{Co}_3(\text{btc})(\text{HCOO})_4(\text{H}_2\text{O})].\text{H}_2\text{O}$
۶۷	۱-۴-۳ - توصیف ساختاری $\text{MOF-CJ4} = [\text{Co}_6(\text{BTC})_2(\text{HCOO})_6(\text{DMF})_6]$ ^(۴)
۶۹	۳-۲-۴ - بررسی طیف IR ترکیب MOF-CJ4
۶۹	۳-۴-۳ - بررسی الگوی XRD ترکیب MOF-CJ4
۷۷	چکیده انگلیسی
۷۸	مراجع

فهرست اشکال

صفحه

عنوان

..... ۱-۱ شکل گیری حلقه های ابرمولکولی و پلیمرهای کوئوردینانسی با استفاده از لیگاندهای همگرا و واگرا.	۵
..... ۲-۱ شکل گیری پلیمرهای D-3D با استفاده از بلوکهای ساختاری اولیه.	۶
..... ۳-۱ خودتجمعی در MOFs	۷
..... ۴-۱ شماتیکی MOFs	۸
..... ۵-۱ انواع لیگاندهای آلی مورداستفاده در MOFs	۹
..... ۶-۱ طراحی منطقی MOFs	۱۰
..... ۷-۱ کنترل سایز در MOMs	۱۱
..... ۸-۱ ماکرومولکول به عنوان میزان برای انواع حلقه های آروماتیک.	۱۲
..... ۹-۱ یک یون لیتیوم کوئوردینه شده به سه Cp [*] Ir با لیگاندهای ۲، ۳ دی هیدروکسی پیریدین	۱۳
..... ۱۰-۱ یک ماکرومولکول کایرال و کاربردان به عنوان کاتالیزور.	۱۴
..... ۱۱-۱ الگویی از MOF-5	۱۶
..... ۱۲-۱ ساختار Zn ₄ O(Rx-BDC) ₃ n با گروه های عاملی مختلف	۱۷
..... ۱۳-۱ روشهای مختلف برای رشد کریستال هادر MOFs	۱۸
..... ۱۴-۱ ظرف اتوکلاو با بشر داخلی تفلونی	۱۸
..... ۱۵-۱ طبقه بندی آیوپک جذب ایزوترم گازها.	۲۱
..... ۱۶-۱ تاثیر دما و زمان در شکل گیری کمپلکس های کبالت	۲۲
..... ۱۷-۱ بخش های ساختار کریستالی [Mn{({Mn ₄ Cl}) ₃ (BTT) ₈ }] ₂	۲۴
..... ۱۸-۱ جذب - واجذب هیدروژن در [Co ₂ (1,4-bdc)(dabc)]	۲۴
..... ۱۹-۱ استر UMC های همتراز شده و جذب هیدروژن دو MOF پلی مورف PCN-12 و PCN-12'	۲۵
..... ۲۰-۱ ایزوترم هیدروژن برای MOF-1 MOF خنثی و MOF تغليظ شده با یون فلزی	۲۶
..... ۲۱-۱ جداسازی دی اکسید کربن از متان در amino-MIL-53(Al)	۲۸
..... ۲۲-۱ جذب ایزوترم CO و N ₂ , O ₂ , H ₂ در PCN-13 در k ₇₇	۲۹

۳۰ شکل ۱-۲۳ نمایی از MAMs-1 و حفراتی که با دما تغییر می کند.

۳۲ شکل ۱-۲۴ شمایی از روش بالا به پایین و پایین به بالا.

۳۵ شکل ۱-۲۵ سرهم شدن چارچوب های فلز-آلی به وسیله کوپلیمریزاسیون یون های فلزی با پل دهنده های آلی.

۴۰ شکل ۱-۶ طرح XRD حاصل از سورفکتانت اولئیک اسید ترکیب $[(\text{CH}_3)_2\text{NH}_2][\text{Co}_3(\text{BTC})(\text{HCOO})_4(\text{H}_2\text{O})].\text{H}_2\text{O}$

۴۲ شکل ۱-۳ شمای ORTEP ترکیب $[\text{Co}_3(\text{H}_2\text{O})_4(\text{OH})_2(\text{C}_4\text{H}_2\text{O}_4)_2].2\text{H}_2\text{O}$

۴۳ شکل ۲-۳ طیف IR نمونه پودری ترکیب $[\text{Co}_3(\text{H}_2\text{O})_4(\text{OH})_2(\text{C}_4\text{H}_2\text{O}_4)_2].2\text{H}_2\text{O}$

۴۴ شکل ۳-۳ الگوی شبیه سازی شده نمونه بلوری والگوی پراش پودری $[\text{Co}_3(\text{H}_2\text{O})_4(\text{OH})_2(\text{C}_4\text{H}_2\text{O}_4)_2].2\text{H}_2\text{O}$

۴۵ شکل ۴-۳ الگوی XRD پودری مربوط به Co_3O_4 با پیش ماده $[\text{Co}_3(\text{H}_2\text{O})_4(\text{OH})_2(\text{C}_4\text{H}_2\text{O}_4)_2].2\text{H}_2\text{O}$

۴۶ شکل ۵-۳ تصویر SEM نانو ذرات Co_3O_4 تهیه شده از طریق کلسیناسیون $[\text{Co}_3(\text{H}_2\text{O})_4(\text{OH})_2(\text{C}_4\text{H}_2\text{O}_4)_2].2\text{H}_2\text{O}$ در دمای 400°C

۴۷ شکل ۶-۳ تصویر SEM نانو ذرات Co_3O_4 تهیه شده از طریق کلسیناسیون $[\text{Co}_3(\text{H}_2\text{O})_4(\text{OH})_2(\text{C}_4\text{H}_2\text{O}_4)_2].2\text{H}_2\text{O}$ در دمای 500°C

۴۸ شکل ۷-۳ تصویر SEM نانو ذرات Co_3O_4 تهیه شده از طریق کلسیناسیون $[\text{Co}_3(\text{H}_2\text{O})_4(\text{OH})_2(\text{C}_4\text{H}_2\text{O}_4)_2].2\text{H}_2\text{O}$ در دمای 650°C

۴۹ شکل ۸-۳ هیستوگرام برای تعیین اندازه نانو ذرات Co_3O_4 تهیه شده از طریق کلسیناسیون ترکیب $[\text{Co}_3(\text{H}_2\text{O})_4(\text{OH})_2(\text{C}_4\text{H}_2\text{O}_4)_2].2\text{H}_2\text{O}$

۵۰ شکل ۹-۳ شمایی از چارچوب فلز-آلی $[\text{Co}_2(\text{bta})(\text{H}_2\text{O})]_{\text{n}}.2\text{nH}_2\text{O}$

۵۱ شکل ۱۰-۳ طیف IR نمونه پودری ترکیب $[\text{Co}_2(\text{bta})(\text{H}_2\text{O})]_{\text{n}}.2\text{nH}_2\text{O}$

۵۲ شکل ۱۱-۳ الگوی شبیه سازی شده نمونه بلوری والگوی پراش نمونه پودری ترکیب $[\text{Co}_2(\text{bta})(\text{H}_2\text{O})]_{\text{n}}.2\text{nH}_2\text{O}$

۵۳ شکل ۱۲-۳ الگوی XRD پودری مربوط به Co_3O_4 با پیش ماده $[\text{Co}_2(\text{bta})(\text{H}_2\text{O})]_{\text{n}}.2\text{nH}_2\text{O}$

۵۴ شکل ۱۳-۳ تصویر SEM نانو ذرات Co_3O_4 تهیه شده از طریق کلسیناسیون ترکیب $[\text{Co}_2(\text{bta})(\text{H}_2\text{O})]_{\text{n}}.2\text{nH}_2\text{O}$ در دمای 400°C

شكل ۱۴-۳ تصویر SEM نانو ذرات Co_3O_4 تهیه شده از طریق کلسیناسیون ترکیب

۵۵ در دمای 500°C $[\text{Co}_2(\text{bta})(\text{H}_2\text{O})]_n \cdot 2\text{nH}_2\text{O}$

شكل ۱۵-۳ تصویر SEM نانو ذرات Co_3O_4 تهیه شده از طریق کلسیناسیون ترکیب

۵۶ در دمای 650°C $[\text{Co}_2(\text{bta})(\text{H}_2\text{O})]_n \cdot 2\text{nH}_2\text{O}$

شكل ۱۶-۳ هیستوگرام برای تعیین اندازه نانو ذرات Co_3O_4 تهیه شده از طریق کلسیناسیون ترکیب

۵۷ $[\text{Co}_2(\text{bta})(\text{H}_2\text{O})]_n \cdot 2\text{nH}_2\text{O}$

شكل ۱۷-۳ ساختار $[(\text{CH}_3)_2\text{NH}_2][\text{Co}_3(\text{BTC})(\text{HCOO})_4(\text{H}_2\text{O})].\text{H}_2\text{O}$

شكل ۱۸-۳ طیف IR نمونه پودری $[(\text{CH}_3)_2\text{NH}_2][\text{Co}_3(\text{BTC})(\text{HCOO})_4(\text{H}_2\text{O})].\text{H}_2\text{O}$

شكل ۱۹-۳ الگوی شبیه سازی نمونه بلوری والگوی پراش پودری نمونه

۶۱ $[(\text{CH}_3)_2\text{NH}_2][\text{Co}_3(\text{btc})(\text{HCOO})_4(\text{H}_2\text{O})]\text{H}_2\text{O}$

شكل ۲۰-۳ الگوی XRD پودری مربوط به Co_3O_4 با پیش ماده

۶۲ $[(\text{CH}_3)_2\text{NH}_2][\text{Co}_3(\text{BTC})(\text{HCOO})_4(\text{H}_2\text{O})].\text{H}_2\text{O}$

شكل ۲۱-۳ تصویر SEM نانو ذرات Co_3O_4 تهیه شده از طریق کلسیناسیون ترکیب

۶۳ در دمای 400°C $[(\text{CH}_3)_2\text{NH}_2][\text{Co}_3(\text{BTC})(\text{HCOO})_4(\text{H}_2\text{O})].\text{H}_2\text{O}$

شكل ۲۲-۳ تصویر SEM نانو ذرات Co_3O_4 تهیه شده از طریق کلسیناسیون

ترکیب $[(\text{CH}_3)_2\text{NH}_2][\text{Co}_3(\text{BTC})(\text{HCOO})_4(\text{H}_2\text{O})].\text{H}_2\text{O}$ در دمای 500°C

شكل ۲۳-۳ تصویر SEM نانو ذرات Co_3O_4 تهیه شده از طریق کلسیناسیون

ترکیب $[(\text{CH}_3)_2\text{NH}_2][\text{Co}_3(\text{BTC})(\text{HCOO})_4(\text{H}_2\text{O})].\text{H}_2\text{O}$ در دمای 600°C

شكل ۲۴-۳ هیستوگرام برای تعیین اندازه نانو ذرات Co_3O_4 تهیه شده از طریق کلسیناسیون

۶۶ $[(\text{CH}_3)_2\text{NH}_2][\text{Co}_3(\text{BTC})(\text{HCOO})_4(\text{H}_2\text{O})].\text{H}_2\text{O}$

شكل ۲۵-۳ ساختار $\text{MOF-CJ4} = [\text{Co}_6(\text{BTC})_2(\text{HCOO})_6(\text{DMF})_6]$

شكل ۲۶-۳ طیف IR نمونه پودری MOF-CJ4

شكل ۲۷-۳ الگوی شبیه سازی شده نمونه بلوری والگوی پراش پودری MOF-CJ4

شكل ۲۸-۳ الگوی XRD پودری مربوط به Co_3O_4 با پیش ماده MOF-CJ4 در دمای

۷۲ 400°C MOF-CJ4

شكل ۲۹-۳ تصویر SEM نانو ذرات Co_3O_4 تهیه شده از طریق کلسیناسیون MOF-CJ4 در دمای

۷۶ 500°C

شكل ۳۱-۳ تصویر SEM نano ذرات Co_3O_4 تهیه شده از طریق کلسیناسیون MOF-CJ4 در دمای 600°C ۷۴

شكل ۳۲-۳ هیستوگرام برای تعیین اندازه نano ذرات Co_3O_4 تهیه شده از طریق کلسیناسیون MOF-CJ4 ۷۵

فهرست جداول

صفحه عنوان

۷	جدول ۱-۱- انواع برهمنکنیش ها در MOFs
۱۵	جدول ۱-۲- مطالعات روی MOFs در سال های ۲۰۰۱-۲۰۰۸
۱۹	جدول ۱-۳- طبقه بندی حفرات در مواد متخلف
۳۱	جدول ۱-۴- کاربردهای نانو ذرات

فصل اول

مقدمه

۱- کبالت

اغلب معدنچیان، خرافه پرست بودند و گمان می کردند که در بسیاری از معادن آلمان ارواح یا جن سکونت دارند که بر سر راه معدنچیان کانی های سمی قرار می دهند. این جن هایمعدنی را Kobold می نامیدند به معنی روح شیطان. واژه کبالت را برای نامیدن کانی های بی ارزش یا سمی به کار می برند. به تدریج استفاده از این واژه برای نامیدن کانی های آرسنیدهای کبالت منحصر شد که زمانی تصور می شد بدون استفاده هستند لیکن در قرن ۱۶ کشف کردند که می توان از آنها برای آبی کردن شیشه ها استفاده کرد.

کبالت عنصر فلزی سخت، براق و شکننده به رنگ سفید – نقره ای است. این عنصر از لحاظ خواص فیزیکی شبیه نیکل و آهن می باشد واز نظر شیمیایی عنصری فعال است. این عنصر به ندرت به صورت غیرترکیبی در طبیعت یافته می شود، اما غالباً به صورت فلز درخشنان یافت می شود. این عنصر یکی از اجزاء سازنده سنگهای معدنی کبالتیت و سایر کانی های دیگر می باشد. فلز کبالت خالص از طریق احیاء ترکیباتش توسط آلومینیوم، کربن یا هیدروژن به دست می آید.

کبالت عنصری ترد و شکننده، فلزی سخت، ظاهر آن شبیه نیکل و آهن می باشد نفوذپذیری آن دو سوم آهن می باشد. کبالت مخلوطی از دوالوتropی با رنچ وسیع حرارتی می باشد. ترکیب کبالت با آهن و نیکل آلیاژی به نام آلینکو می سازد که ترکیبی با خاصیت مغناطیسی قوی و جهت استفاده های مهم کاربرد دارد. کبالت همچنین در فولادهای مغناطیسی، فولاد ضد زنگ و آلیاژهایی که در توربین جت ها و ژنراتورهای توربین های گازی مورد استفاده قرار می گیرد. این فلز همچنین برای آبکاری الکتریکی استفاده می شود زیرا دارای سختی بالا و مقاوم در برابر اکسید شدن می باشد.

استلیتها که آلیاژهای سخت جهت ساختن موتورهای بیستونی هستند شامل کبالت، کروم و تنگستن هستند و از این آلیاژ برای مصارف کارهای سنگین و لوازم و تجهیزات برش حرارت بالا و برای قالبگیری استفاده می شود.

نمک های کبالت برای تولیدات الماس و سرامیک های با رنگ آبی ثابت، شیشه ها، سفال، کاشی و میناکاری استفاده می شود. اجزای اصلی کبالت که باعث رنگ آبی می شوند عبارتند از: sever و thenaral . محلول کلریدکبالت برای جوهرسمپاتیک مورداستفاده قرارمی گیرد. معمولاً کبالت به صورت کلرید، نیترات و استات مورد استفاده قرار می گیرد که این ترکیبات برای جانورانی که کمبود مینرال های کبالت دارند استفاده می شود [۱].

پرتودهی کبالت حدود $mg/m^3 / ۰۵$ است که استفاده از آن را محدود می کند.

۱-۲-اثر کبالت بر روی سلامتی

از آنجایی که کبالت به طور گسترده در محیط‌های مختلف وجود دارد، با تنفس هوا، آشامیدن، آب و خوردن غذایی که حاوی کبالت هستند، مقداری کبالت وارد بدن انسان می‌شود. تماس پوست با خاک یا آب دارای کبالت نیز راه دیگر ورود کبالت به بدن انسان می‌باشد. کبالت برای بدن انسان اهمیت زیادی دارد، زیرا بخشی از ویتامین B₁₂ را تشکیل می‌دهد. برای برطرف کردن عارضه کم خونی در زمان بارداری از کبالت استفاده می‌شود، زیرا کبالت تولید سلولهای خونی را تحریک می‌کند. مقدار زیاد کبالت برای بدن انسان مضر است، اگر مقدار کبالت در هوای تنفسی از حد مجاز بیشتر باشد، بر اثر تنفس کبالت مشکلات تنفسی مانند آسم و ذات الایه ایجاد می‌کند. مصرف غلاظت‌های بالای کبالت موجود استفراغ، تهوع، مشکلات بینایی، مشکلات قلبی و آسیب به تیروئید می‌شود. اشکال دیگری از کبالت که باعث بیماری می‌شوند، ایزوتوپهای رادیو اکتیو کبالت می‌باشند. ایزوتوپهای رادیو اکتیو کبالت سبب نازایی، ریزش مو، تهوع، خونریزی، کما و حتی مرگ می‌شود. گاهی اوقات پرتوهای حاصل از ایزوتوپهای کبالت برای بیماران سرطانی برای از بین بردن تومورها استفاده می‌شوند، این بیماران بر اثر استفاده از ایزوتوپهای کبالت عوارضی از قبیل ریزش مو، اسهال و تهوع را تجزیه می‌کنند. آژانس بین المللی تحقیقات سرطانی (IARC)، کبالت و ترکیبات آن را در گروه B₂ قرار می‌دهند این بدان معناست که می‌تواند برای انسان سرطان زا باشد.

۱-۳-تأثیرات زیست محیطی کبالت

کبالت عنصری طبیعی است که در هوا، آب، خاک، سنگها، گیاهان و جانوران وجود دارد. همچنین کبالت می‌تواند از طریق وزش باد در سطح زمین، وارد هوا یا آب شود، یا از طریق هرز آبهای شهری که از سنگها و خاکهای حاوی کبالت عبور می‌کند وارد آبهای سطحی شود. فعالیت‌های انسانی مانند: احتراق زغال سنگ، معدنکاری، فرآوری کانسنگهای حاوی کبالت و تولید و استفاده از مواد شیمیایی دارای کبالت باعث ورود مقداری از این عنصر شیمیایی به اتمسفر می‌شود. ایزوتوپهای رادیواکتیو کبالت به طور طبیعی وجود ندارند، اما بر اثر عملیات هسته‌ای که در کارخانه‌های انرژی اتمی انجام می‌شود، تولید و تشکیل می‌گردند. از آنجاییکه ایزوتوپهای رادیواکتیو کبالت نیمه عمر نسبتاً کوتاهی دارند، خطرناک نمی‌باشند. زمانی که کبالت وارد محیط می‌شود، بلافضله از بین نمی‌رود. کبالت می‌تواند با سایر ذرات واکنش دهد یا جذب سایر ذرات شود. این ذرات عبارت هستند

از ذرات خاک یا رسوبات آبی، فقط زمانی که شرایط محیط اسیدی باشد، کبالت می‌تواند متحرک باشد البته در نهایت قسمت اعظم کبالت وارد رسوبات و خاک می‌شود.

۱-۴-۱- ایزوتاپ های کبالت

DP	DE Mev	DM	نیمه عمر	ایزوتاپ
۵۶ Fe	۴/۵۶	e	۷۷/۲۷ روز	۵۶
۵۷ Fe	۰/۸۳	e	۲۷۱/۷۹ روز	۵۷
۵۸ Fe	۲/۳۰	e	۷۰/۸۶ روز	۵۸
			پایدار	۵۹
۶۰ Ni	۲/۸۲	- β	۵/۲۷۱۴ میل	۶۰

۱-۵- خواص فیزیکی شیمیایی کبالت

Kg/m ^{۷۶۰/۴}	اولین انرژی یونیزاسیون	جامد فرومغناطیسی	حالت ماده	۲۷ Cobalt, Co	شماره، نام، علامت اختصاری
۱۶۴۸	دومین انرژی یونیزاسیون	۲۷۷۲۳°F	نقطه ذوب	فلز انتقالی	گروه شیمیایی
۳۲۳۲	سومین انرژی یونیزاسیون	۵۳۰۷	نقطه جوش	۹/۴/d	گروه، تناوب، بلوک
۴۹۵۰	چهارمین انرژی یونیزاسیون	۶/۶۷m ^{3/mol}	حجم	۸۹۰۰	Kg/م ^۳ جرم حجمی
		kg/mol ^{۳۷۶/۵}	گرمای تبخیر	۵۸/۹۳۳۲۰۰	وزن اتمی amu
		Kg/m ^{۱۶/۱۹}	گرمای فروپاشی	فلزی سفیدنقره ای	رنگ
		۱۷۵ Pa at ۱۷۶۸ K	فشار بخار	۱۳۵<<۱۵۲>>	شعاع اتمی pm
		at k ^{۴۷۷۰} m/s	سرعت صوت در ۱۵/۲۹۳ کلوین	۱۲۶ Pm	شعاع کرووالانسی
		۱/۸۸ پاولینگ	الکترونگاتیویته	amu ^{۵۸/۹۳۳}	وزن اتمی
		۴۲۰ J/(kg/k)	ظرفیت گرمایی ویژه	۲/۱۵/۸/۲	e- به ازای هر سطح انرژی
		۱۰۰ W(mk)	رسانایی گرمایی	۲ و ۳ (آمفوتربیک)	درجه اکسیداسیون
		۱۷/۲۱ اهم	رسانایی الکتریکی	شش گوش	ساختار کریستالی

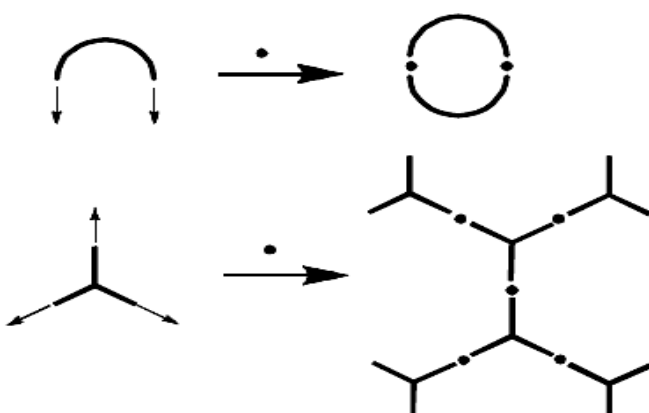
۱-۶- منابع

کبات در کانی های کبالتیت، اسمالتیت، اریتریت و اکثر نهشته های آهن، مس، سرب و نیکل وجود دارد. این عنصر همچنین در شهاب سنگها وجود دارد. معادن مهم این کانی در کشور های زئیر، مراکش و کانادا وجود دارد. انجمن زمین شناسی آمریکا خبر از نهشته های غنی از کبات در شمال مرکزی اقیانوس آرام در اعماق کم گزارش داده است.

۱-۲- سیستم های فلز -آلی

حلقه های بزرگ فلز -آلی (MOMs)^۱ و سیستم های فلز -آلی (MOSS)^۲ و چارچوبهای فلز -آلی (MOFs)^۳ گروهی از سیستم های فلز -آلی هستند که شامل دو جزء اصلی می باشند: یون فلزی غیر آلی (اسیدلوئیس) و لیگاندهای آلی طراحی شده (بازلوئیس)، که از طریق پیوندهای کوئوردینانسی یا بر همکنش های ضعیف، ساختارهای یک بعدی، دو بعدی و سه بعدی را تشکیل می دهند.

به طور کلی استفاده از ساختار های همگرا^۴، حلقه های ابرمولکولی^۵، و استفاده از ساختارهای واگرا^۶ MOF ها را تولید می کند [۳] شکل (۱-۱). بنابراین، شرط اصلی برای تشکیل ساختارهای حلقه ای استفاده از حداقل یک ساختار با هندسه منحنی می باشد [۴ و ۵].



شکل ۱-۱ شکل گیری حلقه های ابرمولکولی (بالایی) و پلیمرهای کوئوردینانسی (پایینی) با استفاده از لیگاندهای همگرا و واگرا.

¹ Metal-Organic macrocycles

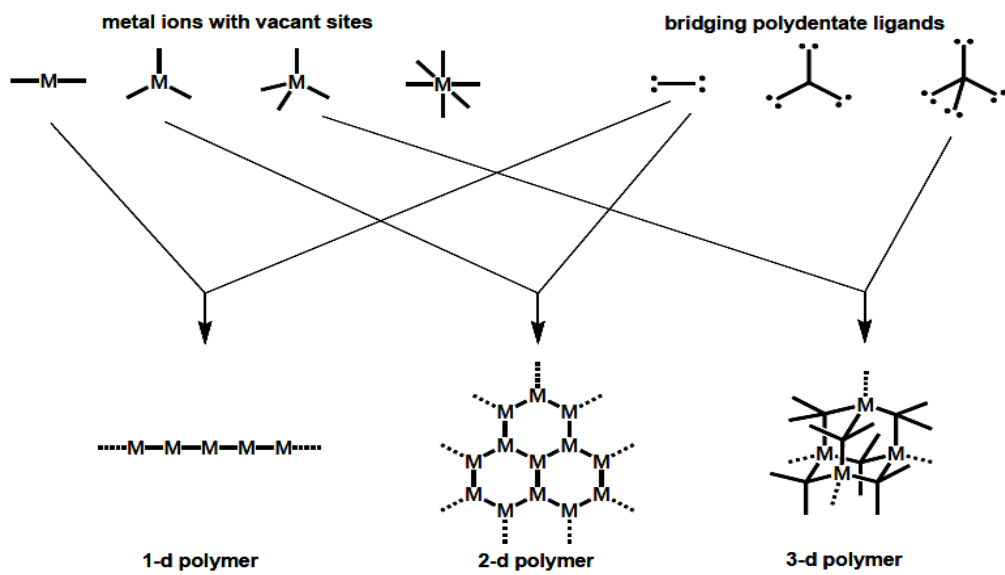
² Metal-Organic Systems

³ Metal-Organic frameworks

⁴ Convergent buildings

⁵ Supramolecular cycles

⁶ Divergent buildings



شکل ۱-۲ شکل گیری پلیمرهای ۱-۳D با استفاده از بلوکهای ساختاری اولیه.

برای به دست آوردن یک MOF، به دو جزء نیاز می باشد: یک یون فلزی با یک یا بیش از یک ظرفیت خالی با موقعیت های کوئوردینانسی فعال و یک لیگاند با حداقل دو موقعیت مستقل کوئوردینانسی.

در بر همکنش بین فلز - لیگاند در یک MOS، انرژی پیوندهای کوئوردینانسی در حدود 50 kJ/mol تخمین زده می شود که این مقدار کمتر از انرژی پیوندهای کوالانسی و بیشتر از پیوندهای ضعیف مثل پیوندهای هیدروژنی، دو قطبی - دو قطبی، پیوندهای وان دروالس و $\pi - \pi$ می باشد. این مقدار میانگین انرژی باعث کنترل خود تجمعی لیگاند - فلز در طراحی منطقی MOFs می باشد. هنگامی که لیگاند - فلز با هم ترکیب می شوند ابتدا محصولات سینیتکی حاصل می شوند که آنها نوآرایی کرده و محصولات ترمودینامیکی را ایجاد می کنند. ساختار نهایی توسط پیوندهای کوئوردینانسی، بر همکنش های ضعیف پیوندهای هیدروژنی، $\pi - \pi$ ، فلز - فلز و بر همکنش فلز - آروماتیک در فرایند تجمع تعیین می شود.

بر همکنش های آروماتیک - آروماتیک نوعی از برهمکنش های $\pi - \pi$ شامل برهمکنش های وجه در وجه یا لبه در وجه ($C - H \dots \pi$ interaction) هستند. در فرایند تجمع، حلقه های آروماتیک طوری قرار می گیرند که بیشترین جاذبه را داشته باشند. بر همکنش فلز - آروماتیک هنگامی است که کاتیون های فلزی می توانند الکترون های π را از مولکول های آروماتیک غیر اشباع بگیرند [۶].